

В.С.Ярош

**ДУРНАЯ БЕСКОНЕЧНОСТЬ
НЕСОВМЕСТИМА С БЕСКОНЕЧНЫМИ
РЯДАМИ РАЗУМНЫХ ЦИКЛОВ МЫСЛЯЩЕЙ МАТЕРИИ
(онтологические спекуляции о происхождении жизни на Земле)**

Государственное Унитарное Предприятие Всероссийский Научно-Исследовательский
Институт Оптико-Физических Измерений (ГУП ВНИИ ОФИ)
Россия, 119361, Москва, Озёрная 46.
E-mail: yvsevolod-26@yandex.ru

PACS numbers:
14.20Dh ,87.10.+e ,
25.20.-x , 32.30.-r

Итак , вам кажется , быть может ,
Что вся бездонность мирового небосвода -
Лишь пустота безмерного молчания .
Но я могу сказать вам, что оттуда
К Земле , едва угаданной в пространстве
Вселенная потоки мысли шлёт
Марио Сократ
«Сказки –притчи»
(Перевод П.С.Гурова)

Аннотация

На пифагорейском пути познания феномена мыслящей материи произошли два знаковых события. Событие первое. Человеческий интеллект, в лице выдающегося шахматиста, сидящего за шахматной доской, вступил в единоборство с искусственно созданным интеллектном в виде электронной цифровой вычислительной машины (ЭЦВМ). Событие второе. Автор данной статьи, в тексте своего доклада двум Международным Конгрессам по проблемам симметрии в Естествознании (ISIS-SYMMETRY, Вашингтон -1995 год и Хайфа-1998 год) предлагал формулу для вычисления бесконечного множества скоростей распространения информации, стремящихся к разумной бесконечности:

$$C_{-\infty} = \sqrt{\frac{R \cdot T \cdot \gamma}{m_{-\infty} \rightarrow 0}} \rightarrow \infty$$

В этой формуле универсальная газовая постоянная:

$$R = k \cdot N_A$$

связана с числом Авогадро, со скоростью света в вакууме и с законом Стефана-Больцмана :

$$\pi \cdot B = \sigma \cdot T^4 \cdot n^2$$

через постоянную излучения Стефана-Больцмана, см. [15] :

$$\sigma = \frac{2 \cdot \pi^5}{15 \cdot h^3} \cdot \frac{k^4}{c^2}$$

В книге [16], на стр. 23 автор оценивает открытие этой формулы так: «Углубление в тончайшие сферы материального пространства таит в себе не только утилитарные возможности для человечества. Здесь открывается возможность осмысления феномена духовности живых существ и феномена передачи интеллектуальной информации в материальном пространстве со скоростями, стремящимися к бесконечности», если кванты материи, см. <http://yvsevolod-26.narod.ru/index.html> :

$$m_{-\infty} \rightarrow 0$$

В формуле обозначена температура T космического микроволнового фонового излучения и отношение «гамма» удельных теплоёмкостей, равное 1.4 для «двухатомных» газов.

Эти два события объединяет нераскрытая тайна шахматной доски и зашифрованный в ней таинственный алгоритм Таблицы умножения Пифагора , предложенной им для умножения первых девяти чисел натурального ряда. Автору данной статьи удалось раскрыть и тайну шахматной доски, и тайну Таблицы умножения Пифагора. В статье эти «тайны» раскрываются с помощью Таблицы №1. Согласно этой Таблице, количество возможных ходов-команд на шахматной доске равно:

$$N_{\rightarrow\infty} = ((8 \cdot 8) = 64)^{64} = 2^{512}$$

Любой гениальный человек-шахматист, наделённый Создателем скоростью распространения мысли, стремящейся к бесконечности, не может запомнить такое количество ходов-команд. В силу этого обстоятельства он не может иметь абсолютного превосходства над решениями ЭЦВМ, оперирующей скоростями распространения информации, приближающимися к скорости света в вакууме. При этом имеет место быть феномен превращения человеческих мыслей в цифры и числа, реализующиеся в ЭЦВМ и в современном цифровом телевидении. Если согласиться с гипотезой о существовании Создателя мироздания и с канонами, описанными в Старом завете Священного писания (Библия), то в этом случае можно построить правдоподобную онтологическую спекуляцию, основанную на упомянутых выше двух знаковых событиях. Автор подробно рассматривает аспекты такой спекуляции, увязывая её с решением

проблемы «дурной бесконечности». Проблему «дурной бесконечности» решают много веков в виде проблемы несоизмеримости отрезков прямых линий. Соизмеримыми могут быть только ПЛОЩАДИ квадратов, прямоугольников и прямоугольных треугольников Пифагора, которые формирует шахматная доска, представленная в статье Таблицей №1. Это обстоятельство имеет фундаментальное значение, ибо сферические волны белого СВЕТА (оптического излучения фотосферы Солнца и звёзд) могут отражаться только поверхностями реальных объектов, а не прямыми и кривыми линиями. Интерференция сферических волн ОПОРНОГО излучателя белого Света с волнами другого излучателя в ПРОСТРАНСТВЕ может формировать голографические отображения реальных объектов Природы. Следовательно, существует потенциальная возможность управлять структурой и жизнью таких голограмм, построенных из фотонов белого СВЕТА. Алгоритм возможного управления РАЗУМНОЙ жизнью таких объектов, включая такой объект, как геном человека, описан в данной статье. Создатель ОТО А.Эйнштейн, согласно [21], 35 лет пытался безуспешно соединить свои уравнения с ФОТОНОМ белого СВЕТА. Автору данного сообщения удалось осуществить мечту Эйнштейна, путём преобразования его уравнений в относительную форму, см. [2], формулы (146)-(147). В качестве достоверных фактов, подтверждающих онтологические спекуляции данной статьи, используются экспериментальные данные, описанные в статье [1], и сомнительное решение «дурной бесконечности», предложенное авторами статьи [20], в которой приведен обширный обзор античной науки.

Введение

Авторы [20] посвятили развязке узла дурной бесконечности очень богатую историческую справку. В конце своей работы они предлагают читателям свою формулу, которая якобы решает проблему дурной бесконечности.

Вот эта формула:

$$\lim_{n \rightarrow \infty} \left(\sqrt{2n^2 - \sqrt{2n^2 - 2n - 1}} \right) = \frac{\sqrt{2}}{2} \quad (1)$$

Авторы конечно же не ушли от дурной бесконечности, ибо в их решении присутствует аperiodическая десятичная дробь:

$$\frac{\sqrt{2}}{2} = 0.707106781... \quad (2)$$

Их решение противоречит гармонии чисел натурального ряда, служащих азбукой и словами Творца, создающего циклы САМОВОСПРОИЗВЕДЕНИЯ его творений.

Чтобы понять смысл этого утверждения, необходимо дать определение понятия «дурная бесконечность», а затем познакомить читателей с работами авторов [2], [3], [4] и [5]. Много веков математики решают «дурную» задачу о несоизмеримости и актуальной бесконечности, которая, по мнению авторов [20], «неизбежно приводила философов к мысли о ничтожности человеческого разума и к агностицизму». Поясним это с помощью простой геометрической модели.

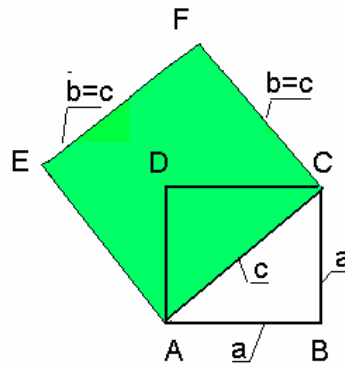


Рис.1

Разговор учёных веками ведётся о том, можно ли в квадрате АЕФС разместить ДВА квадрата АДСВ. Если бы это можно было сделать, то в этом случае мы имели бы простое доказательство фундаментальной роли Золотой пропорции (Divina Proportione) Платона :

$$3,(5) / 1,(7) = 1,(7) / 0,(8) = 2 \quad (3)$$

или

$$\frac{2,(6) + 0,(8)}{1,(7)} = \frac{1,(7)}{0,(8)} = 2 \quad (4)$$

которую формируют целые электронные числа , [3] :

$$\begin{aligned} 2 &= \frac{1,(7)}{0,(8)} = \\ &= \frac{32 \cdot 36}{18 \cdot 32} = \frac{4 \cdot 8 \cdot 2 \cdot 18}{18 \cdot 32} = \\ &= \frac{2 \cdot 4 \cdot 8 \cdot 18 \cdot 32}{18 \cdot 32^2} = \frac{36864}{18432} \end{aligned} \quad (5)$$

Но все исследователи феномена, изображенного на Рис.1, зациклились на выводе :

Этого сделать нельзя, ибо соотношение площадей квадратов выражается аperiодической десятичной дробью, а Золотая

пропорция выражается Золотым сечением (Golden section), подменяющем предел отношения двух соседних чисел ряда чисел Фибоначчи :

$$\sqrt{2} = 1.414213562..$$

$$\cdot \frac{1 + \sqrt{5}}{2} = 1.618033989... \quad (6)$$

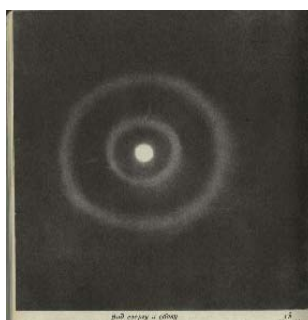
Причина этого «заикливания» кроется в том, что все «знатоки» античной науки не понимали смысла главной парадигмы Пифагора:

*«Начало всего – единица.
Единице, как причине, принадлежит неопределённая двоица*

$$\frac{2,(6) + 0,(8)}{1,(7)} = \frac{1,(7)}{0,(8)} = 2 \quad (7)$$

*Из единицы и неопределённой двоицы исходят числа;
Из чисел-точки.
Из точек-линии;
Из них-плоские фигуры;
Из плоских-объёмные фигуры;
Из них-чувственно воспринимаемые тела.»*

Не понимали они и репликационной (воспроизводящей) роли числа Авогадро, зашифрованного Творцом во внешних сферических слоях уплотнённой материи, которая в виде электронных оболочек (СФЕРИЧЕСКИХ ПОВЕРХНОСТЕЙ а не криволинейных орбит) окружает пульсирующие ядра атомов вещества.



У тяжёлых атомов актиноидов эти СФЕРИЧЕСКИЕ слои материи имеют стандартный набор макро-квантов, измеряемых массами электронов.:

$$32 \cdot m_e ; 18 \cdot m_e ; 8 \cdot m_e ; 2 \cdot m_e ; \quad (8)$$

При этом, ряд электронных чисел :

$$32 ; 18 ; 8 ; 2 ; \quad (9)$$

образует группу относительных величин:

$$\begin{aligned} X &= 32 / 18 = 1.777777778 \\ Y &= 18 / 8 = 2.25 \\ Z &= 8 / 2 = 4 \end{aligned} \quad (10)$$

которые точно определяют репликационное число Авогадро:

$$\begin{aligned} N_A &= \frac{(2 \cdot X \cdot Y \cdot Z)^{16}}{2} = 2^{79} = \\ &= 2 \cdot (2^{26})^3 = \\ &= 6.0446291 \cdot 10^{23} \end{aligned} \quad (11)$$

Оперирующее не ОТРЕЗКАМИ прямых, а парными числами-КВАДРАТАМИ :

$$\begin{aligned} 2 \cdot 32 &= 8^2 \\ 2 \cdot 18 &= 6^2 \\ 2 \cdot 8 &= 4^2 \\ 2 \cdot 2 &= 2^2 \end{aligned} \quad (11.1)$$

Этим числам-квадратам Творец ставит в соответствие геометрические площади КВАДРАТОВ, от которых могут отражаться электромагнитные волны и волны гравитации.

Чтобы понять «тайну» геометрического феномена, изображённого на Рис.1 , «тайну» Таблицы умножения Пифагора , «тайну» теоремы Пифагора , тайну шахматной доски , см. ниже Таблицу № 1 , и тайну рождения ФОТОНОВ СВЕТА , надо понять смысл САМОВОСПРОИЗВЕДЕНИЯ творений Творца. Инструментами самовоспроизведения служат: число Авогадро и ПЛОЩАДЬ прямоугольника Пифагора, см. Рис. 3., а также ТРИ фундаментальные постоянные:

$$\begin{aligned} G &= 6.673 \cdot 10^{-8} \text{ см}^3 \cdot \text{г}^{-1} \cdot \text{с}^{-2} \\ c &= 2.997\ 924\ 562 \cdot 10^{10} \text{ см} \cdot \text{с}^{-1} \\ \hbar &= \frac{h}{2\pi} = \frac{6.626176 \cdot 10^{-27} \text{ эрг} \cdot \text{с}}{2\pi} = \\ &= 1.0545887 \cdot 10^{-27} \text{ эрг} \cdot \text{с} \end{aligned} \quad (11.2)$$

Макс Планк сконструировал из этих постоянных свои ТРИ единицы измерения длины, времени и массы соответственно:

$$\begin{aligned}
 L^* &= \sqrt{\frac{\hbar \cdot G}{c^3}} = 1.616 \cdot 10^{-33} \text{ см} = \\
 &= 16.16 \cdot 10^{-34} \approx 4^2 \cdot (10^{-17})^2 \text{ см} \\
 T^* &= \sqrt{\frac{\hbar \cdot G}{c^5}} = 5.391 \cdot 10^{-44} \text{ с} \\
 M^* &= \sqrt{\frac{\hbar \cdot c}{G}} = 2.177 \cdot 10^{-5} \text{ г}
 \end{aligned}
 \tag{11.3}$$

Обратим внимание на то, что планковская длина измеряется
КВАДРАТАМИ чисел

Автор данной статьи сконструировал свои ТРИ ОСНОВНЫЕ
ЕДИНИЦЫ измерения длины времени и массы , см. [18] :

$$\begin{aligned}
 r_{\text{оя}} &\approx 1.6409300 \cdot 10^{-21} \text{ см} \approx \\
 &\approx 16.4 \cdot 10^{-22} \approx 4^2 \cdot (10^{-11})^2 \text{ см} \\
 \tau_{\text{оя}} &\approx 5.4735533 \cdot 10^{-32} \text{ с} \\
 \mu_{\text{оя}} &\approx 2.6136368 \cdot 10^{-48} \text{ г}
 \end{aligned}
 \tag{11.4}$$

Здесь единица длины также выражается КВАДРАТАМИ чисел.

Вопрос:

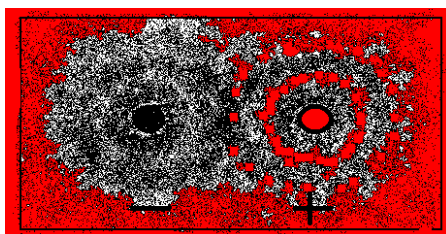
Почему основные единицы?

Ответ:

Потому, что этими параметрами Творец наделил основного носителя
РАЗУМНОЙ ИНФОРМАЦИИ , которым является пульсирующий
источник-сток материи вакуума, именуемый фотоном белого СВЕТА
или ХОЛОДНЫМ ФОТОНОМ – АДРОНОМ.

**Такой фотон-адрон излучает в окружающее материальное
пространство СФЕРИЧЕСКИЕ волны Гюйгенса.**

Ниже изображена пара пульсирующих в ПРОТИВОФАЗЕ фотонов-
адронов, образовавших ЭГД :



Масса планкеона и **КУБ** длины отрезка прямой Планка позволяют вычислить фундаментальную плотность массы планкеона:

$$\rho^* = \frac{M^*}{L^{*3}} = \frac{c^5}{\hbar \cdot G^2} = 5.157 \cdot 10^{93} \text{ г} \cdot \text{см}^{-3} \quad (11.5)$$

А мой спектральный инвариант в форме :

$$L + \frac{L}{2} + \frac{L}{4} + \frac{L}{8} + \frac{L}{16} + \frac{L}{32} + \frac{L}{64} + \dots + \frac{L}{N_A} + \dots + \frac{L}{N_{\rightarrow\infty}} + \dots \quad (11.6)$$

и в форме:

$$L \cdot \left(1 + \frac{1}{2^1} + \frac{1}{2^2} + \frac{1}{2^3} + \frac{1}{2^4} + \frac{1}{2^5} + \frac{1}{2^6} + \dots + \frac{1}{2^{79}} + \dots + \frac{1}{2^{512}} + \dots \right) = \quad (11.7)$$

$$= L \cdot \lambda^*$$

позволяет квантовать (дробить) не только планковский отрезок прямой L , но и планковскую плотность :

$$\rho^* \cdot \left(1 + \frac{1}{2^1} + \frac{1}{2^2} + \frac{1}{2^3} + \frac{1}{2^4} + \frac{1}{2^5} + \frac{1}{2^6} + \dots + \frac{1}{2^{79}} + \dots + \frac{1}{2^{512}} + \dots \right) = \quad (11.8)$$

$$= \rho^* \cdot \lambda^*$$

В результате такого дробления выявляются известные из опыта плотности.

$$\text{Если } 2^{262} = 7.4106937 \cdot 10^{78} \text{ , то} \quad (11.9)$$

$$\rho_{262} = \frac{1}{2 \cdot 3} \cdot \left(\frac{\rho^*}{2^{262}} \right) = 1.15981045 \cdot 10^{14} \text{ г} \cdot \text{см}^{-3} \quad (11.10)$$

плотность ядерной материи

$$\text{Если } 2^{424} \text{ то} \quad (11.11)$$

$$\rho_{424} = \left(\frac{\rho^*}{2^{424}} \right) = 1.1903618 \cdot 10^{-34} \text{ г} \cdot \text{см}^{-3} \quad (11.12)$$

плотность материальной структуры космического микроволнового фонового излучения , [14]. Эта плотность реализуется при абсолютной температуре мирового пространства (вакуума),

$$T_{br} = 3.2 \pm 1 \text{ К} \quad (11.13)$$

когда плотность энергии излучения :

$$U_{br} = 4 \cdot \frac{\sigma}{c} \cdot T_{br}^4 \cdot n^3 = \quad (11.14)$$

$$= (2.35 \cdot 10^{-12} - 1.47 \cdot 10^{-13}) \text{ эрг} \cdot \text{см}^{-3}$$

$$n = 1$$

плотность среды, соответственно, равна:

$$\rho_{br} = \frac{U_{br}}{c^2} \approx (2.618 \cdot 10^{-33} - 1.636 \cdot 10^{-34}) \text{ г} \cdot \text{см}^{-3} \quad (11.15)$$

Если 2^{290} то (11.16)

$$\begin{aligned} \rho_{290} &= 2\pi \cdot \rho^* \cdot 2^{-290} = \\ &= 2\pi \cdot (c^5 \cdot h^{-1} \cdot G^{-2}) \cdot 2^{-290} = \\ &= 1.6286739 \cdot 10^7 \text{ г} \cdot \text{см}^{-3} \end{aligned} \quad (11.17)$$

Такая характерная плотность с точностью

$$\Delta = \frac{\rho_{290} - \rho_G}{\rho_G} \cdot 100 = 8.666... \% \quad (11.18)$$

совпадает с плотностью гравитационного эфира, которая (плотность) зашифрована Создателем в гравитационной постоянной G , см.

ссылку №32 на <http://yvsevolod-26.narod.ru/index.html> :

$$\rho_G = c^2 \cdot G^{-1} = 1.4985763 \cdot 10^7 \text{ г} \cdot \text{см}^{-3} \quad (11.19)$$

Здесь $c = (1 \text{ с})$ единица времени в системе CGS.

Если предположить, что фотон СВЕТА наделён Создателем способностью играть в шахматы, то в этом случае он (пульсирующий фотон) будет располагать количеством ходов-команд, см. (56), равным числу:

$$N_{\rightarrow\infty} = ((8 \cdot 8) = 64)^{64} = 2^{512} \quad (11.20)$$

Это число нами обозначено в спектральном инварианте, см. выше.

В этом случае можно будет определить ещё одну характерную плотность материи в спектре плотностей НМК МП .

Если $2^{512} = 1.340789811 \cdot 10^{154}$, то (11.21)

$$\begin{aligned} \rho_{512} &= \left(\frac{\rho^*}{2^{512}} \right) = 3.8462663 \cdot 10^{-61} \text{ г} \cdot \text{см}^{-3} \approx \\ &\approx 2^2 \cdot 10^{-62} = 2^2 \cdot (10^{-31})^2 \text{ г} \cdot \text{см}^{-3} \end{aligned} \quad (11.22)$$

Обратим внимание на следующий факт :

Все использованные нами показатели степеней числа 2

с приемлемой точностью кратны числу 2:

$$262, 78, 14, 424, 34, 290, 64, 512, 154, 62, 2 \quad (11.23)$$

Эта тончайшая структура квантующейся материи плотности:

$$\rho_{512} \approx 2^2 \cdot 10^{-62} \text{ г} \cdot \text{см}^{-3} \quad (11.24)$$

будет транслировать **ОПОРНЫЕ** или **БАЗОВЫЕ** электромагнитные волны с частотой 1 Гц, см. Схему №1.

При частоте 1 Гц реализуется внутренняя энергия пульсирующего фотона-адрона:

$$E = h \cdot \nu = \hbar \cdot \omega \quad (11.25)$$

Соответствующее значение имеет и его масса :

$$\begin{aligned} \mu_0 &= \frac{E}{c^2} = \frac{h \cdot \nu}{c^2} = \\ &= \frac{6.626176 \cdot 10^{-27} \text{ эрг} \cdot \text{с}}{(c = 2.997\ 924\ 562 \cdot 10^{10} \text{ см} \cdot \text{с}^{-1})^2} = \\ &= 7.372261519 \cdot 10^{-48} \text{ г} \end{aligned} \quad (11.26)$$

Множества таких пульсирующих фотонов белого СВЕТА могут пульсировать с базовыми или **ОПОРНЫМИ** сдвигами фаз пульсации:

$$\beta = 0, \quad \beta = \pi/2, \quad \beta = \pi \quad (11.27)$$

В первом случае, согласно опытам Биеркнеса, пульсирующие фотоны будут отталкиваться, во втором случае они будут вести себя нейтрально, а в третьем случае фотоны будут притягиваться (приталкиваться). Подобно тому, как у людей-избирателей Президента могут быть разнообразные точки зрения, у пульсирующих фотонов белого СВЕТА могут быть различные сдвиги фаз пульсации. Применительно к этой ситуации в упомянутой выше тончайшей структуре будут формироваться множества опорных электромагнитных волн, генерируемых каждым фотоном-адроном:

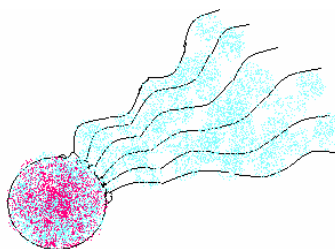


Схема №1

На Схеме №1 мы видим пенообразный участок поверхности пульсирующего фотона-адрона. Каждый пульсирующий пузырёк его поверхности излучает в окружающее пространство свою **ОПОРНУЮ СФЕРИЧЕСКУЮ** волну. На Схеме №1 сферические волны условно представлены плоскими линейными волнами. Так как излучение идёт не из одной точки, а из множества **ПУЗЫРЬКОВ** сферической

поверхности, возникает МНОЖЕСТВО сдвигов фаз пульсации , несущих определённый СМЫСЛ. Если количество излучающих пузырьков на поверхности пульсирующего фотона-адрона равно количеству возможных ходов-команд на шахматной доске ИГРОКА – КОМАНДУЮЩЕГО , см. (11.28) и Таблицу №1 ,то информационные возможности каждого пульсирующего фотона-адрона чрезвычайно высоки, ибо они определяются гигантским числом:

$$N_{\rightarrow\infty} = ((8 \cdot 8) = 64)^{64} = 2^{512} \quad (11.28)$$

Если такой ПРЕЗИДЕНТ – фотон обладает быстротой мысли человека, он может мысленно пробегать все возможные команды-ходы на шахматной доске, изображенной на Таблице №1 (см. ниже), и издавать КОМАНДЫ тем фотонам-адронам, опорные волны которых КОГЕРЕНТНЫ волне издаваемой команды. Энергия таких фотонов будет удваиваться и у них появится естественная побудительная причина к активным ЦЕЛЕНАПРАВЛЕННЫМ действиям.

Так, вкратце, выглядит модель разумной мыслительной способности фотонов белого Света. Боле подробную информацию о шахматной доске Пифагора и Президента - фотона читатель найдёт ниже при описании Таблицы №1

1. Репликационное число Авогадро

Теория идеальных газов констатирует необъяснимый феномен Природы. Молекулы любого газа почему-то объединяются в сообщества, которые называют молями. При этом, все моли содержат одно и то же количество молекул, равное числу Авогадро. Создаётся впечатление, что какой-то разумный командир формирует моли газов по простому принципу. Все молекулы должны парами образовывать колонну. Количество таких пар равно:

$$2^{79} \quad (12)$$

Колонна молекул состоит из легионов:

$$(2 \cdot X \cdot Y \cdot Z) \quad (13)$$

количество которых кратно числу 2 :

$$\frac{(2 \cdot X \cdot Y \cdot Z)^{16}}{2} \quad (14)$$

А число 16 в этом определении служит указателем того места, в котором обитает само число Авогадро.

Чтобы найти то место в ряду натуральных чисел , надо знать закон циклического построения натурального ряда. Все числа натурального ряда образуют матрицу ДЕВЯТОК .

Рассмотрим подробнее этот феномен Природы.

Главным объектом нашего исследования будет бесконечный ряд натуральных чисел :

$$1, 2, 3, 4, 5, 6, 7, 8, 9, 10, 11, 12, 13, 14, 15, 16, \dots \quad (15)$$

Этот ряд целых чисел сформирован Создателем по групповому признаку. Все числа натурального ряда (НР) образуют бесконечный ряд ДЕВЯТОК:

$$\begin{array}{cccccccc} 1 & 2 & 3 & 4 & 5 & 6 & 7 & 8 & 9 \\ 10 & 11 & 12 & 13 & 14 & 15 & 16 & 17 & 18 \\ 19 & 20 & 21 & 22 & 23 & 24 & 25 & 26 & 27 \\ \dots & & & & & & & & \\ \dots & & & & & & & & \end{array} \quad (16)$$

При этом, все девятки чисел нумерологически фокусируются в бесконечный ряд персонифицированных ДВОЕК ;

$$\begin{array}{cccccccc} 2_1 & 2_2 & 2_3 & 2_4 & 2_5 & 2_6 & 2_7 & 2_8 & 2_9 \\ 2_{10} & 2_{11} & 2_{12} & 2_{13} & 2_{14} & 2_{15} & 2_{16} & 2_{17} & 2_{18} \\ 2_{19} & 2_{20} & 2_{21} & 2_{22} & 2_{23} & 2_{24} & 2_{25} & 2_{26} & 2_{27} \\ \dots & & & & & & & & \\ \dots & & & & & & & & \end{array} \quad (17)$$

и в бесконечный ряд соответствующих персонифицированных ДЕВЯТОК :

$$\begin{array}{cccccccc} 9_1 & 9_2 & 9_3 & 9_4 & 9_5 & 9_6 & 9_7 & 9_8 & 9_9 \\ 9_{10} & 9_{11} & 9_{12} & 9_{13} & 9_{14} & 9_{15} & 9_{16} & 9_{17} & 9_{18} \\ 9_{19} & 9_{20} & 9_{21} & 9_{22} & 9_{23} & 9_{24} & 9_{25} & 9_{26} & 3_{27} \\ \dots & & & & & & & & \\ \dots & & & & & & & & \end{array} \quad (18)$$

Фокусировку НР в числа 2_n доставляет нам гениальное открытие доктора Алексея Алексеевича Корнеева, которое получило название Треугольника Корнеева - TK_n :

Числовая фокусировка фрагмента
натурального ряда (Первоцифр)
нумерологическая

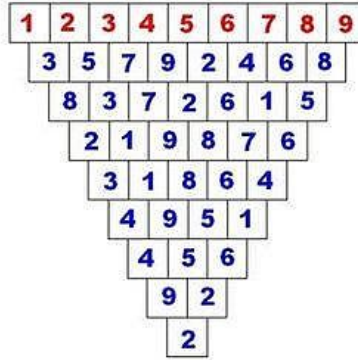


Рис. 2

Этот удивительный объект фокусирует на число **2** не только первую ДЕВЯТКУ бесконечного множества (16) , но и все ДЕВЯТКИ чисел множеств (16) , (17) и (18).

Убедиться в этом можно путем НУМЕРОЛОГИЧЕСКОГО СОКРАЩЕНИЯ чисел множества (16). Алгоритм нумерологического сокращения инвариантен относительно всего НР. Суть его – в следующем. Обратим внимание на Первый треугольник

$$\mathbf{TK}_n = \mathbf{TK}_1 \quad (19)$$

изображённый на Рис.2.

Первая , исходная строка этого треугольника всегда остаётся НЕИЗМЕННОЙ для ВСЕХ девяток чисел бесконечного множества (18). Это - краеугольный камень всего НР. В качестве примера сформируем Второй треугольник \mathbf{TK}_2 применительно ко ВТОРОЙ девятке натуральных чисел множеств (16) и (18). Суммируем два первых числа второго ряда множества (16) ,следуя правилу сокращения лишних цифр :

$$\mathbf{10 + 11 = 21 = 2 + 1 = 3} \quad (20)$$

В результате мы получили первую цифру второй строчки \mathbf{TK}_2 .
Далее суммируем вторую пару чисел по правилу сокращения:

$$\mathbf{11 + 12 = 23 = 2 + 3 = 5} \quad (21)$$

и получаем вторую цифру второй строки.

Далее суммируем по этому же правилу третью пару чисел:

$$12 + 13 = 25 = 2 + 5 = 7 \quad (22)$$

и получаем третью цифру второй строки. И так далее до последней цифры второй строки. Таким же путём формируем третью строку, четвёртую и все остальные. В результате мы получим копию TK_1 . Но «за спиной» полученного треугольника будут стоять не числа первой строки множества (16), а числа второй строки этого множества ДЕВЯТОК. Следуя вдоль всего ряда натуральных чисел, мы получим бесконечное множество КАЧЕСТВЕННО отличающихся треугольников Корнеева :

$$TK_1 \quad TK_2 \quad TK_3 \quad TK_4 \quad TK_5 \quad TK_6 \quad \dots \quad TK_{n \rightarrow \infty} \quad (23)$$

которые доставляет нам бесконечный ряд КАЧЕСТВЕННО отличающихся двоек и девяток, см. (17) и (18).

1.1 Координаты натуральных чисел

Бесконечный ряд треугольников Корнеева, см. (23), можно уподобить бесконечной улице, вдоль которой стоят «дома» TK_n .
Всем «домам» присвоены собственные номера:

$$n = 1, 2, 3, 4, 5, 6, 7, \dots \quad (24)$$

Зная номер «дома», легко открыть содержимое этого «дома», т.е. живущее в нём натуральное число. Для этого служит моя формула :

$$N_{k,l} = 9 \cdot n - l \quad (25)$$

в которой используется прямая координата k и обратная координата:

$$l = (9 - k) \quad (26)$$

искомого натурального числа $N_{k,l}$. Для поиска нужных (необходимых, желаемых) натуральных чисел используется треугольник доктора Корнеева, см. Рис.3.

Порядок отсчёта координат демонстрируется ниже на Рис.3, на примере поиска «места» 6 :

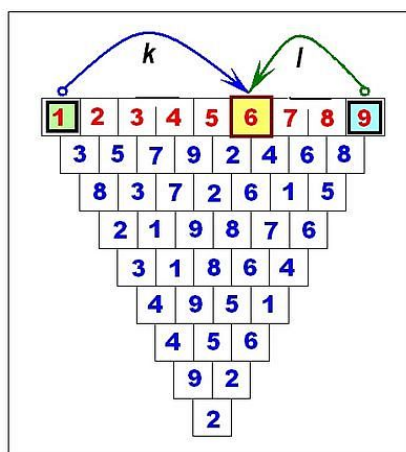


Рис.3

Демонстрационный пример.

Допустим, что нам надо найти натуральное число, обитающее в треугольнике доктора Корнеева под номером $n=7$, рядом с местом 6.

Для этого искомого числа прямая координата равна координате места шесть $k=6$, а дополнительная координата равна:

$$l = (9 - 6) = 3.$$

При этом всегда: $k + l = 9$

Подставляя эти координаты в формулу (25), вычисляем искомое натуральное число:

$$N_{6,4} = 9 \cdot 7 - (9 - 6) = 63 - 3 = 60 \quad (27)$$

При этом, крайнее правое число равно 62, а крайнее левое число равно 54. Среднее арифметическое всей девятки чисел равно:

$$\begin{aligned} CA &= \frac{54 + 62}{2} = \\ &= \frac{(54 + 55 + 56 + 57 + 58 + 59 + 60 + 61 + 62)}{9} = \\ &= 58 \end{aligned} \quad (28)$$

Это число расположено в середине девятки чисел. Оно выполняет роль ЦЕНТРА СИММЕТРИИ. Через него проходит ОСЬ СИММЕТРИИ треугольника Корнеева.

1.2 Ключевое число к материальной структуре Мироздания

В качестве Ключевого числа к структуре материального Мироздания Природа определила число Авогадро :

$$\begin{aligned} N_A &= (2 \cdot X \cdot Y \cdot Z)^{16} / 2 = \\ &= 2^{79} = 2 \times (2^{26})^3 = \\ &= 6.0446291 \times 10^{23} \end{aligned} \quad (29)$$

которое, согласно [10] , пришло из макроскопической области и используется при изучении квантовых явлений в атомной физике, в ядерной физике и в физике элементарных частиц. Сегодня мы имеем веские основания полагать, что число Авогадро выполняет роль РАЗУМНОГО регулирующего и управляющего НАЧАЛА в репликационных процессах , наблюдающихся в бесконечном ряду натуральных чисел и в природе.. Вот эти веские основания.

В бесконечном ряду ДВОЕК, см. (17) , и в бесконечном ряду ДЕВЯТОК, см. (18), это число занимает место под номером :

$$n = 16 \quad (30)$$

Этот номер выполняет роль показателя степени в ансамбле электронных чисел :

$$(2 \cdot X \cdot Y \cdot Z)^{n=16} \quad (31)$$

строящихся из стандартного набора масс электронов, см.(8) и (9):

$$32 \cdot m_e , 18 \cdot m_e , 8 \cdot m_e , 2 \cdot m_e \quad (32)$$

$$\begin{aligned} X &= 32 / 18 = 1.77777778 \\ Y &= 18 / 8 = 2.25 \\ Z &= 8 / 2 = 4 \end{aligned} \quad (33)$$

При этом, форма:

$$N_A = 2^{79} = 2 \cdot (2^{26})^3 \quad (34)$$

содержит в себе информацию о числах:

7 -Количество полос (линий) в спектрах Ньютона и Гёте, см. Рис. 4

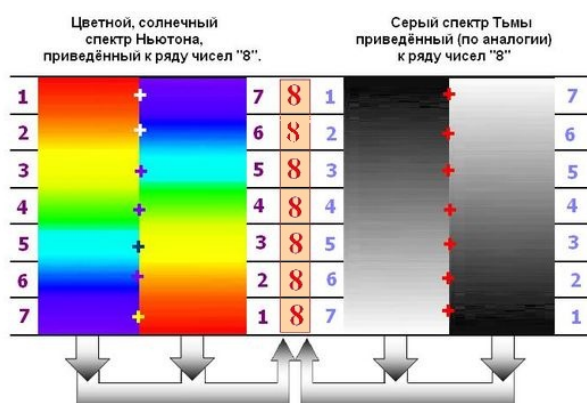
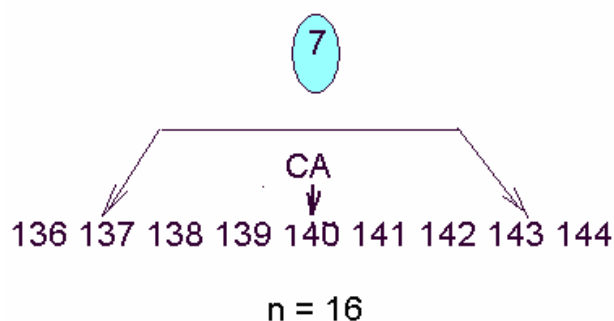


Рис.4

Тонкая структура
 $\alpha = 0.0072973506$

здесь представлена числом :

$$137 = \alpha^{-1} = 137.0... \quad (38)$$

Это число, в паре с числом 143 формирует
 СРЕДНЕАРИФМЕТИЧЕСКОЕ ЗНАЧЕНИЕ СЕМИ ЧИСЕЛ
 РАССМАТРИВАЕМОЙ ДЕВЯТКИ:

$$\begin{aligned} CA &= \frac{137 + 143}{2} = \\ &= \frac{137 + 138 + 139 + 140 + 141 + 142 + 143}{7} = \\ &= 140 \end{aligned} \quad (39)$$

При этом, число n=16 выполняет не только роль порядкового номера строк в матрице ДЕВЯТОК НАТУРАЛЬНЫХ ЧИСЕЛ , но

$$N_{k,l} = l_{k,l} = l_{1,8} = (9 \cdot n - 1) = (9 \cdot 2 - (9 - 1)) = 10 \quad (45)$$

где

$$l = (9 - k) = (9 - 1) = 8 \quad (46)$$

2. Решение дурной бесконечности

На протяжении многих веков авторы дурной бесконечности рассматривали исходный квадрат, см. Рис. 1 :

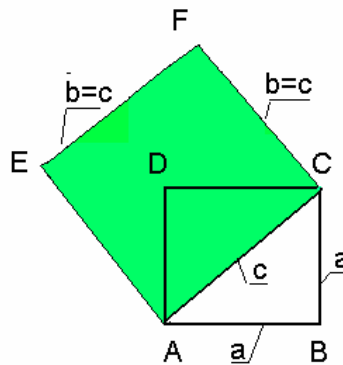


Рис. 1

у которого стороны были равны единице :

$$a = 1 \quad (47)$$

Площадь такого квадрата тоже была равна единице:

$$AB^2 = F1 = a \cdot a = 1 \cdot 1 = 1 \quad (48)$$

По теореме Пифагора вычислялся квадрат гипотенузы прямоугольного треугольника ABC :

$$AC^2 = c^2 = a^2 + a^2 = 1^2 + 1^2 = 2 \quad (49)$$

При этом вычислялось *желаемое* отношение площадей зелёного квадрата и исходного квадрата:

$$AC^2 = \frac{2 \cdot AB^2}{AB^2} = 2 \quad (50)$$

из которого следовало иррациональное определение стороны зелёного квадрата:

$$AC = \sqrt{2} = 1.414213562... \quad (51)$$

не соизмеримое со стороной исходного квадрата:

$$a = 1 \quad (52)$$

Ошибка такого метода поиска соизмеримости состоит в нарушении смысла теоремы Пифагора:

$$a^2 + b^2 = c^2 \quad (53)$$

которая уравнивает не отрезки, а площади, ограничиваемые отрезками прямых.

Только следование теореме Пифагора позволяет Творцу клонировать не отрезки прямых, а площади квадратов, согласно приведенной ниже иллюстрации, см. Рис. 5 :

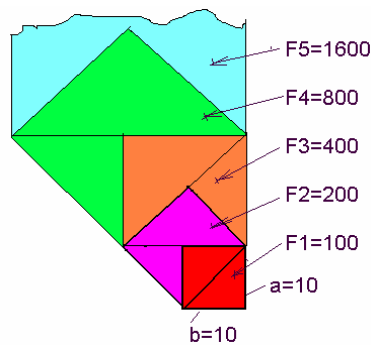


Рис.5

Выбирая в качестве МЕРЫ единицу, определяемую формулами (44) и (45), мы получаем возможность клонирования исходной красной площади квадрата в ритме числа 2. Каждая следующая площадь порождаемого квадрата равна удвоенной площади квадрата порождающего. А половины площадей таких квадратов создают массив конгруэнтных чисел.

3. Тайну таблицы умножения Пифагора, тайну теоремы Пифагора и тайну алгоритма шахматной игры раскрывает первый Треугольник Корнеева

Раскрытие всех этих «тайн» демонстрирует открытая мною Таблица № 1, в которой определяющую роль играют прямоугольные треугольники Пифагора,

Таблица умножения и теорема Пифагора

1	2	3	4	5	6	7	8	9
2								
3								
4								
5								
6								
7								
8								
9								

■ Площадь прямоугольника $3 \cdot 6 = 18$

■ Площадь прямоугольника $8 \cdot 9 = 72$

Таблица № 1

Пифагор и его ученики полагали, что если при решении любой задачи имеет место быть прямоугольный треугольник, то задача на $\frac{2}{3}$ решена.

Последуем этой установке Пифагора и построим Таблицу №1 с помощью первой девятки чисел матрицы (16) и первой строки

Треугольника Корнеева, см. Рис.2. Расположив эти числа по горизонтали и по вертикали, мы получим квадрат, состоящий из 64 малых квадратов, покрашенных жёлтым цветом. Это – шахматная доска, которую можно использовать для игры в шахматы и для построения Таблицы умножения Пифагора.

Алгоритм ТАБЛИЦЫ УМНОЖЕНИЯ Пифагора демонстрируют нам два примера, в качестве которых я использую два светло-голубых прямоугольных треугольника.

Пример первый.

Проводим отрезок прямой от числа 3 к числу 6 и полагаем, что это суть гипотенуза прямоугольного треугольника, окрашенного светло-голубым цветом. Катеты этого треугольника 3 и 6 позволяют вычислить площадь прямоугольника, которому соответствует МЕСТО, окрашенное красным цветом.

Площадь такого прямоугольника равна :

$$F_{3,6} = 3 \cdot 6 = 18 \quad (54)$$

Аналогичным путём вычисляется площадь прямоугольника, которому ставится в соответствие место, закрашенное синим цветом:

$$F_{8,9} = 8 \cdot 9 = 72 \quad (55)$$

Обходя всю шахматную доску Таблицы №1, окрашенную жёлтым цветом, мы получим Таблицу умножения Пифагора.

Если мы посадим двух человек у такой шахматной доски и поручим им строить прямоугольные треугольники, проводя отрезки гипотенуз прямоугольных треугольников путём соединения любых двух жёлтых клеток, в которых обитают числа Таблицы умножения Пифагора, мы получим возможность вычисления гигантского количества площадей МАЛЫХ и БОЛЬШИХ прямоугольников, которые игроки могут сравнивать по определённым правилам:

$$N_{\rightarrow\infty} = ((8 \cdot 8) = 64)^{64} = 2^{512} \quad (56)$$

Это число ходов-команд играющих превышает число Авогадро:

$$N_A = 2^{79} \quad (57)$$

на 433 порядка !

Если в качестве Одного из играющих выступает фотон белого СВЕТА (оптического излучения фотосфер Солнца и звёзд), избранный множеством РАЗУМНО МЫСЛЯЩИХ фотонов КОМАНДУЮЩИМ ПРЕЗИДЕНТОМ, то в распоряжении такого командующего будет практически неограниченная возможность выбирать те хода-решения на шахматной доске, окрашенной жёлтым цветом, см. Таблицу №1, которые будут реализовать, к примеру, ГОЛОГРАФИЧЕСКУЮ структуру генома растения или животного (включая человека).

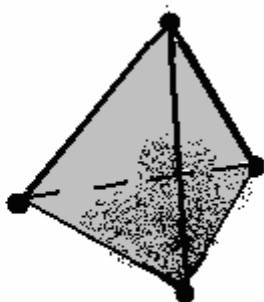
Человеческий разум, человеческая мыслительная способность и его духовная сущность, при такой трактовке учения Пифагора, становятся функцией волевых решений ФОТОНА - ПРЕЗИДЕНТА.

Человеческое самомнение никогда с этим не согласится, пока не привыкнет к этому феномену Творца.

Здесь необходимо описать непростой алгоритм, положенный Творцом в основу управления цифровой двоичной информацией, которой обменивается Фотон-Президент с фотонной структурой нуклонов. Ведь из нуклонов состоит 99.97% наблюдаемого вещества Мироздания.

Схема управления этой информацией подобна схеме управления ракетно - ядерными силами ядерных стран. Фотон-Президент выбирает из арсенала команд-ходов, см. (56), одну команду и передаёт её на Главный командный пункт (ГКП), находящийся в состоянии СТОКА-приёма информации :

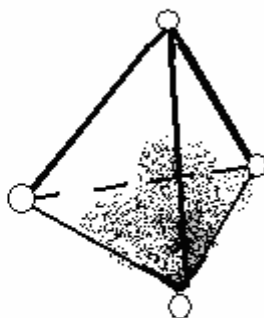
Каждая грань четырёхгранника- шахматная доска, изображённая на Таблице № 1



Главный Командный Пункт (ГКП), находящийся в состоянии СТОКА-приёма двоичной цифровой информации

ГКП переходит в состояние ИСТЕЧЕНИЯ – излучения принятой информации:

Каждая грань четырёхгранника- шахматная доска, изображённая на Таблице № 1



ГКП, находящийся в состоянии ИСТЕЧЕНИЯ-излучения принятой информации

Все четыре фотона ГКП, пульсируя с БАЗОВОЙ ОПОРНОЙ частотой 1Гц,

выбирают тот пульсирующий пузырьрёк на своей пенной поверхности, см. Схему №1 на стр.11, который был заранее predetermined Фотоном-Президентом. Такие 4 пульсирующих пузырьрёка, пульсируя со сдвигом фазы :

$$\beta = \text{Const}$$

относительно БАЗОВОЙ ОПОРНОЙ сферической волны, передают команду Фотона-Президента нуклонам.

Состояние нуклона, усреднённого по состояниям p и n , эквивалентно состоянию двух макро-кубов-фракталов :

$$m_{\text{нuc}} = 2 \cdot (2^{26})^3 \cdot \mu'_{\text{оя}} = 1.6738014 \cdot 10^{-24} \text{ Г}$$

если

$$\mu'_{\text{оя}} = 2.7690721 \cdot 10^{-48} \text{ Г}$$

Единицей измерения ребра макро-куба здесь служит массовое число 2 ЭГД :

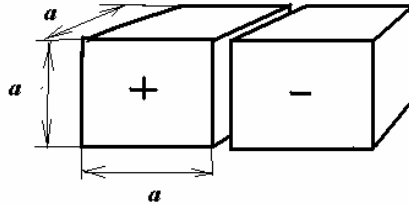
$$a = 2^{26}$$

Эта модель определяет нуклон как сколлапсировавший моль газа холодных фотонов – адронов , ибо число :

$$N_A = 2 \times (2^{26})^3 = 2^{79} = 6.0446291 \times 10^{23}$$

отождествляется с фундаментальным числом Авогадро , пришедшим в квантовую физику, в ядерную физику и в физику элементарных частиц из макро-области , см. [10] . Ниже представлена геометрическая модель фрактала нуклона:

Фрактал нуклона



Здесь $a = 2^{26}$

Размер $\approx 10^{-13}$ см

Одна половина фрактала нуклона всегда находится в состоянии приёма информации (знак минус), а другая- в состоянии излучения информации (знак плюс). Следовательно, половина фотонов нуклона всегда готово принять информацию Фотона-Президента и выполнить её. Примером такой команды может быть команда, выдаваемая каждому звену спиральной структуры молекулы ДНК, алгоритм которой описан ниже, в разделе « 6. Формирование генома человека с помощью шахматной доски фотона – Президента.»

Другим примером реализации таких команд-ходов Фотона-Президента могут служить опытные данные П.П.Гаряева , [1].

Цитату из [1] я привожу здесь:

«Анализ поведения генетического аппарата в ситуации омонимий логически приводит к сильному, я бы сказал, фундаментальному тезису о квази разумности генома. Для правильного выбора аминокислоты в ситуации омонимической неоднозначности белок синтезирующей системе необходимо ПРОЧИТАТЬ, прочесть не в метафорическом смысле, но реально, всю молекулу иРНК, то есть контекст и ПОНЯТЬ его смысл. И ПРИНЯТЬ РЕШЕНИЕ о выборе "правильной" аминокислоты или стоп-сигнала. Это можно сделать только С ПОМОЩЬЮ АКТА МЫШЛЕНИЯ, РАЗУМНО, что означает наличие у генома МЕНТАЛЬНОГО НАЧАЛА. Следовательно, геном базируется не только на чистой биохимии и физике взаимодействий информационных биомолекул, что стыдливо умалчивалось официальным научным сообществом в угоду жёсткому материализму и меркантильным соображениям. Понятие квази разумности генома выводит в совершенно другие области знания, которые сейчас пока либо недоступны, либо намеренно прикрываются. Одновременно это и пересмотр мировоззренческих позиций в отношении функции и происхождения наших хромосом, а заодно, пересмотр всех технологий работы генетиков, медиков. Следовательно, это ведет к переориентировке финансовых потоков в биологии и медицине, что многим не по вкусу. В дополнение скажу, что недавно в работах В.И.Щербака доказан ещё один фундаментальный факт – белковый код оперирует математикой с использованием за пределами абстрактного понятия НУЛЯ [Shcherbak V.I., 2003, Arithmetic inside the universal genetic code. BioSystems, v.70, pp.187–209.]. В.И.Щербак обнаружил в системе генетического исчисления использование функций ноля. Это чрезвычайно важное обстоятельство, поскольку ноль – сугубо мыслительное порождение, дающее начало координатному сознанию с его количественными мерами оценки внешнего мира, которые интерпретируются внутренним организменным генетическим сознанием-исчислением. Таким образом, цифры (наряду с буквами) становятся неотъемлемой частью генетического (белкового) кода. И мы должны принять очередное сильное положение, что *in vivo* существует арифметическое управление в лингвистической и/или текстовой генетике.

Итак, белок синтезирующая система и геном в целом обладают способностью к квази мышлению и математическому исчислению как части его

Спектры, что мы регистрируем, можно получать не только с ДНК, клеток и организмов. Любое вещество дает эти необычные и

неизвестные ранее спектры. Вообще это новый тип динамической поляризационно-лазерно-радиоволновой спектроскопии. Мы тут в самом начале. Например, можно получить спектры камней. Многие из них обладают биологической активностью, а спектры усиливают её во много крат. И все они дают свои уникальные мелодии, если перевести спектр из радиоволн в звук.

Таким образом, идеальное начало мышления-сознания базируется на материальных структурах информационных молекул ДНК, РНК и Белков, которые являются отображениями речи и технологий Творца, как инобытие Его Мысли.»

4. Спектральный инвариант отображает функцию нуля в структуре генома

Концепция НМК МП, см. <http://yvevolod-26.ru/index.html>, в своей основе содержит модель фотонного пространства. Неисчерпаемость и бесконечная квантуемость структуры такого пространства отображается спектральным инвариантом, источником которого является апория Зенона об Ахилле и черепахе.

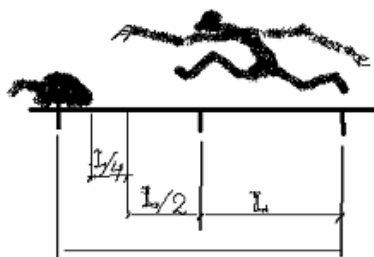


Рис. 6

Ахилл, нагоняя черепаху, сделал предпоследний шаг длиной L . Чтобы догнать черепаху, ему необходимо преодолеть еще половину шага $L/2$, затем четверть шага $L/4$, затем $L/8$ и т.д. до бесконечности, которая недостижима. Размышляя над апорией Зенона, древний мыслитель получал квантованную или фрактальную модель двух последних шагов Ахилла:

$$L + \frac{L}{2} + \frac{L}{4} + \frac{L}{8} + \frac{L}{16} + \frac{L}{32} + \frac{L}{64} + \dots + \frac{L}{N_A} + \dots + \frac{L}{N_{\rightarrow\infty}} + \dots \quad (58)$$

Обратим внимание на то, что в знаменателях всех слагаемых используются числа, кратные числу 2. Вынося L за скобки, получим:

$$\mathbf{L} \cdot \left(\mathbf{1} + \frac{\mathbf{1}}{2^1} + \frac{\mathbf{1}}{2^2} + \frac{\mathbf{1}}{2^3} + \frac{\mathbf{1}}{2^4} + \frac{\mathbf{1}}{2^5} + \frac{\mathbf{1}}{2^6} + \dots + \frac{\mathbf{1}}{2^{79}} + \dots + \frac{\mathbf{1}}{2^{512}} + \dots \right) = \mathbf{L} \cdot \lambda^* \quad (59)$$

Где

$$\lambda^* = \left(\mathbf{1} + \frac{\mathbf{1}}{2^1} + \frac{\mathbf{1}}{2^2} + \frac{\mathbf{1}}{2^3} + \frac{\mathbf{1}}{2^4} + \frac{\mathbf{1}}{2^5} + \frac{\mathbf{1}}{2^6} + \dots + \frac{\mathbf{1}}{2^{79}} + \dots + \frac{\mathbf{1}}{2^{512}} + \dots \right) \quad (60)$$

спектральный инвариант относительной микро-области. Производя элементарные вычисления, находим :

$$\lim \lambda^* = 2 \quad (61)$$

Но этого мало для построения спектральной структуры ДНК.

Цитируя П.П.Гаряева, см. выше, мы обращаем внимание на следующий факт :

«В.И.Щербак доказал ещё один фундаментальный факт – белковый код оперирует математикой с использованием запредельно абстрактного понятия НУЛЯ [Shcherbak V.I., 2003, Arithmetic inside the universal genetic code. BioSystems, v.70, pp.187–209.]. В.И.Щербак обнаружил в системе генетического исчисления использование функций ноля.»

Демонстрируем наличие ноля (нуля) на шахматной доске, изображенной на Таблице №1 .

При числе команд-ходов :

$$\mathbf{N}_{\rightarrow\infty} = ((\mathbf{8} \cdot \mathbf{8}) = \mathbf{64})^{64} = \mathbf{2}^{512} \quad (62)$$

имеет место быть НОЛЬ для числа 2 первой строки матрицы натуральных чисел (16):

$$\lambda^* - 2 = 0 \quad (63)$$

Чтобы убедиться в этом , следует воспользоваться персонифицированными двойками матрицы (17) :

$$\begin{array}{cccccccc}
2_1 & 2_2 & 2_3 & 2_4 & 2_5 & 2_6 & 2_7 & 2_8 & 2_9 \\
2_{10} & 2_{11} & 2_{12} & 2_{13} & 2_{14} & 2_{15} & 2_{16} & 2_{17} & 2_{18} \\
2_{19} & 2_{20} & 2_{21} & 2_{22} & 2_{23} & 2_{24} & 2_{25} & 2_{26} & 2_{27} \\
\text{.....} & & & & & & & & \\
\text{.....} & & & & & & & &
\end{array} \tag{64}$$

и формулой (63). Эти исходные данные приводят нас к матрице нулей, которая уходит в разумную бесконечность :

$$\begin{array}{cccccccc}
0_1 & 0_2 & 0_3 & 0_4 & 0_5 & 0_6 & 0_7 & 0_8 & 0_9 \\
0_{10} & 0_{11} & 0_{12} & 0_{13} & 0_{14} & 0_{15} & 0_{16} & 0_{17} & 0_{18} \\
0_{19} & 0_{20} & 0_{21} & 0_{22} & 0_{23} & 0_{24} & 0_{25} & 0_{26} & 0_{27} \\
\text{.....} & & & & & & & & \\
\text{.....} & & & & & & & &
\end{array} \tag{65}$$

П.П.Гаряев оценивает такие ноли (нули) следующими словами, см. выше :

«Это чрезвычайно важное обстоятельство, поскольку ноль – сугубо мыслительное порождение, дающее начало координатному сознанию с его количественными мерами оценки внешнего мира, которые интерпретируется внутренним организменным генетическим сознанием-исчислением».

5. Ещё раз о роли числа Авогадро

Число Авогадро контролирует, как относительную микро-область, так и относительную макро-область на отрезке чисел :

$$\left(\frac{1}{N_A} = \frac{1}{2^{79}} = 1.6543612... \times 10^{-24} \right) \rightarrow (N_A = 2^{79}) \tag{66}$$

Если для левой части этого отрезка мерой служит единица массы – грамм, мы получаем усреднённую массу нуклона :

$$m_{\text{мuc}} \approx 1.6543612... \times 10^{-24} \text{ г} \tag{67}$$

Если для правой части отрезка чисел мерой служит масса пульсирующего ядра :

$$\mu_{\text{оя}} \approx \mu_0 - \mu_{\text{он}} = \mu_0/3 = 2.6133 \cdot 10^{-48} \text{ Г} \quad (68)$$

особого состояния кванта действия:

$$\mu_0 = (\hbar \cdot \nu_0) / c^2 \approx 7.84 \cdot 10^{-48} \text{ Г} \quad (69)$$

при частоте пульсации :

$$\nu_0 = 1 \text{ Гц} \quad (70)$$

мы также получаем массу пульсирующего нуклона:

$$m_{\text{мус}} \approx 1.5796... \times 10^{-24} \text{ Г} \quad (71)$$

См. при этом формулы (11.1) – (11.28), представленные выше. Этот простой абстрактный алгоритм приводит нас к выводу о том, что структура нуклонов состоит из фотонов белого СВЕТА. Этот вывод можно подтвердить достоверными астрофизическими данными, которые представлены ниже.

1 . Астрофизические данные о Солнце.

Согласно [11] Солнце извергает ежеминутно в мировое пространство около 2 400 000 тонн собственной массы – энергии в виде солнечного ветра и в виде электромагнитных излучений .

Солнечный ветер, [12], подобно космическим лучам, [13], состоит, главным образом , из нуклонов , а среди электромагнитных излучений особое место занимает в и д и м ы й свет , см. [14] .

Согласно данным [14] :

“Практически **ВСЯ ЭНЕРГИЯ ИЗЛУЧЕНИЯ СОЛНЦА** заключена в непрерывном излучении фотосферы , приходящемся на интервал длин волн от $1.5 \times 10^{-5} \text{ см}$ до $5 \times 10^{-1} \text{ см}$.

Фотосферное излучение близко к излучению абсолютно черного тела при абсолютной температуре $T \approx 6000\text{К}$.

Оптическое излучение занимает в фотосферном излучении очень узкую полосу частот. В этой узкой полосе **ВИДИМЫЙ СВЕТ** реализуется в чрезвычайно узком диапазоне частот, см. стр. 39 в [14]:

$$4 \times 10^{14} \text{ Гц} \leq \nu \leq 7.5 \times 10^{14} \text{ Гц} \quad (72)$$

имея при этом самую высокую энерговооруженность.

В этом узком диапазоне ν имеет место быть экстремум спектральной плотности потока (количество энергии, приходящееся на один сантиметр квадратный в секунду на данной длине волны) :

$$2 \times 10^6 \text{ эрг} / (\text{см}^2 \times \text{с} \times \text{мкм}) = \text{const} \quad (73)$$

Ниже , на Рис.7 мы видим наглядную картину этого явления природы .

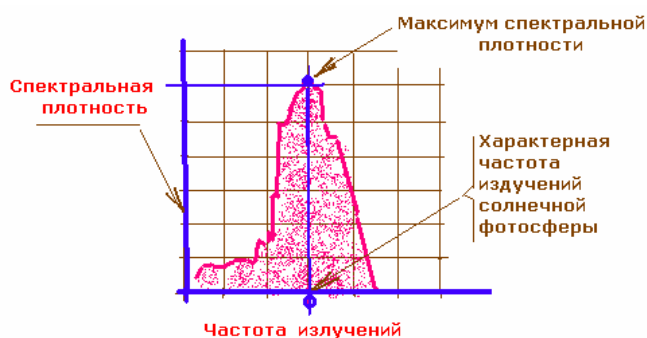


Рис.7

Согласно этой экспериментальной кривой максимум спектральной плотности

$$10^6 \text{ эрг} / (\text{см}^2 \times \text{с} \times \text{мкм}) \quad (74)$$

реализуется на частоте

$$3 \times 10^{14} \text{ Гц} \quad (75)$$

Имея в виду изложенное, наметим генеральную линию нашего доказательства фотонного происхождения жизни на Земле :

В НАЧЛЕ был горячий фотон видимого (белого) СВЕТА.

Проходя огромные расстояния в мировом пространстве, фотон тратил свою кинетическую энергию на преодоление уже существовавшей среды фотонов СВЕТА.

В результате пульсирующий фотон-адрон останавливается в абсолютном мировом пространстве, см. [14] , и становится холодным пульсатором, который имеет частоту, но не имеет амплитуды. Такой пульсатор я называю холодным фотоном-адроном. Реализация этого процесса описана в Формуле научного открытия, см. ссылку №2 на <http://yvsevolod-26.narod.ru/index.html>.

Бесчисленные множества горячих фотонов, излучаемых звездами , за многие миллиарды лет превращаются в бесчисленные множества холодных фотонов – адронов , покоящихся в абсолютном мировом пространстве.

В результате этого естественного процесса возник и существует квазигаз холодных фотонов –адронов, плотность которого равна размазанной плотности вещества наблюдаемой Вселенной, см.Формулу открытия № ОТ – 11 681. Эта плотность является компонентой спектральной плотности материального физического пространства, см. [16] .Спектрально пульсирующие холодные фотоны –адроны объединяются в элементарные гравитационные диполи (ЭГД), из которых, под воздействием СИЛЬНОЙ гравитации , см. ссылку № 8 на <http://yvsevolod-26.narod.ru/index.html> , возникают элементарные фракталы ядерной материи .А из элементарных фракталов, под воздействием все той же сильной гравитации (внутренней и внешней), ф о р м и р у ю т с я электроны, нуклоны и атомы вещества. Алгоритм формирования этих порождений видимого света Солнца и звезд подробно описан в ссылках №5 , №6 и №8 на <http://yvsevolod-26.narod.ru/index.html>.

2 . Термодинамические и фрактальные данные земной атмосферы

В силу естественного расширения сферического потока излучений Солнца , на каждой орбите солнечных планет фиксируется своя Солнечная постоянная .

На орбите Земли солнечная постоянная равна , см. [15] :

$$f_{\otimes} = 1,3533(18) \times 10^6 \text{ эрг}/(\text{см}^2 \times \text{с}) \quad (76)$$

Именно это значение потока солнечной энергии способствует появлению клеточной структуры земной атмосферы и клеточной структуры ткани живого вещества .

С фотографией отпечатка клеточной структуры воздуха читатель может познакомиться на стр.13 книги В.С.Яроша «Единая симметрия микро - и макрокосмоса» , изданной в 2001 году издательством «Лев». См.[16] .

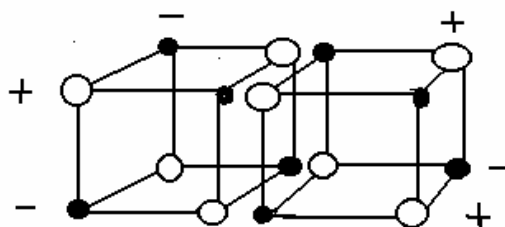
Фотография была получена в специальном эксперименте , который состоял в следующем . На пути движения фронта ударной воздушной волны была установлена закопченная стеклянная пластина После прохождения фронта ударной волны на пластине остался отпечаток сжатой клеточной структуры воздуха .

Есть еще одна феноменальная особенность земной атмосферы.

Согласно [11], примерно, до высоты 60 километров над уровнем моря, земная атмосфера состоит практически только из двухатомного азота, (75.51% по весу) и из двухатомного кислорода, (23.15% по весу). Эта особенность земной атмосферы служит причиной рождения спиральных молекул ДНК.

Поясним эту феноменальную особенность земной атмосферы с помощью геометрических изображений фракталов, представленных ниже. Вначале мы рассмотрим фрактальную модель нуклона. Из нуклонов, как известно построены ядра всех атомов вещества.

Фрактальная модель нуклона, состоящая из восьми ЭГД
Каждый ЭГД строится из пары пульсирующих фотонов,
принимающих периодически состояния + и -.



Два элементарных куба фрактала,
составляющих массу - энергию
одного нуклона.

Символ \oplus положит.гравит.заряд

Символ \ominus отрицат.гравит.заряд

Рис.8

Здесь, на Фиг.8, изображена фрактальная модель одного нуклона. Из таких элементарных микро-фракталов строятся макро-фракталы двухатомного кислорода и двухатомного азота.

Фрактал нуклона рождается в недрах фотонного газа под воздействием СИЛЬНОЙ ГРАВИТАЦИИ из элементарных гравитационных диполей (ЭГД, которые имеют массовое число $A=2$).

Благодаря упомянутому обстоятельству в структурах всех микро-фракталов и макро-фракталов господствует фундаментальное массовое число ЭГД:

$$A_{\text{оя}} = (\mu_{\text{оя}} + \mu_{\text{оя}}) / \mu_{\text{оя}} = 2 \quad (77)$$

Числу 2 кратны количества электронов на внешних орбитах тяжелых атомов, а также количества электронов слоях K, L, M, N современной модели атома вещества.

Числу 2 кратны все магические числа ядер атомов вещества
 Число 2 господствует во всех фундаментальных законах природы .
 Примером может служить точное решение трехмерного уравнения Шредингера :

$$W_N = -2\pi^2 \cdot \left(\frac{m \cdot e^4}{h^2} \right) \cdot \frac{1}{N^2} \quad (78)$$

Это уравнение буквально насыщено числом 2 .
 Автор исходит из того, что масса нуклона есть сколлапсировавший моль газа холодных фотонов – адронов .В нуклоне , под воздействием давления СИЛЬНОЙ ГРАВИТАЦИИ, см. ссылку №37 на <http://yvsevolod-26.narod.ru/index.html> :

$$\sigma_{оя}^* = 8.44 \times 10^{35} \text{ дин/см}^2 \quad (79)$$

сжато количество ядер $\mu_{оя}$ холодных фотонов – адронов ,
 равное фундаментальному числу Авогадро :

$$N_A = 2 \times 2^{78} = 2^{79} = 6.0446291 \times 10^{23} \quad (80)$$

В силу этого обстоятельства фотонная модель массы нуклона, подобно пчелиному рою, принимает форму шара и описывается равенством, в котором информация о форме «роя» отсутствует :

$$m_{нuc} = N_A \times \mu_{оя} = [2 \times (2^{26})^3 \times \mu_{оя}] = 1,67 \times 10^{-24} \text{ Г} \quad (81)$$

Располагая полученной выше информацией , построим фрактальную модель двухатомного кислорода .

Ядро двухатомного кислорода имеет массовое число :

$$A_{O_2} = 16 \times 2 = 32 \quad (82)$$

Это число указывает нам на количество нуклонов . содержащихся в ядре двухатомного кислорода. С учетом вышеизложенного , фрактальная модель ядра кислорода получает следующее представление :

$$M_{O_2} = A_{O_2} \times [2 \times (2^{26})^3 \times \mu_{оя}] \quad (83)$$

Зная величину массы нуклона, см. (67) и (71), с учётом (82) , мы можем построить эквивалентную модель ядра двухатомного кислорода:

$$\begin{aligned}
M_{O_2} &= 32 \times m_{\text{нuc}} \approx \\
&= 32 \times 1.67 \times 10^{-24} \approx \\
&\approx 8 \cdot [8 \cdot [2 \cdot (2^{26})^3]] \cdot \mu_{\text{оя}} \approx \\
&\approx 5.344 \cdot 10^{-23} \text{ г}
\end{aligned}
\tag{84}$$

Геометрическое изображение этой модели представлено ниже на

Рис.9:

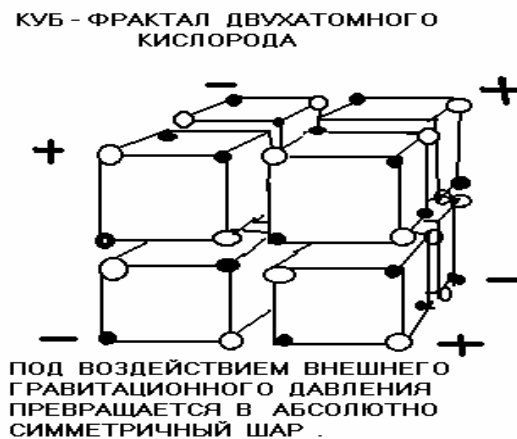


Рис.9

У куба фрактала двухатомного кислорода, изображенного на Рис . 9 , есть две фундаментальные особенности :

1 . Под воздействием внешнего гравитационного давления ЭТОТ КУБ – ФРАКТАЛ способен трансформироваться в АБСОЛЮТНО СИММЕТРИЧНЫЙ спектрально пульсирующий ШАР .

2. На концах каждого ребра такого куба – фрактала располагаются гравитационные заряды противоположных знаков , что позволяет ему соединяться с другими фракталами .

А теперь перейдём теперь к построению макрофрактала двухатомного азота.

Массовое число двухатомного азота равно :

$$A_{N_2} = 14 \times 2 = 28 \tag{85}$$

Следовательно , с учетом вышеизложенного, фотонная модель массы ядра двухатомного азота будет иметь следующий вид :

$$M_{N_2} = 28 \times m_p = 28 \times [2 \times (2^{26})^3] \times \mu_{оя} \quad (86)$$

В недрах фотонного газа , под воздействием внешнего гравитационного

давления , модель (86) принимает двухкомпонентную структуру в силу того обстоятельства , что число 28 не может быть степенью числа 2 :

$$M_{N_2} = [32 \times (2^{26})^3] \times \mu_{оя} + [24 \times (2^{26})^3] \times \mu_{оя} = 4,676 \times 10^{-23} \text{ Г} \quad (87)$$

Читатель может с помощью карманного калькулятора убедиться в эквивалентности результатов вычислений по формулам (86) и (87) .

В результате мы приходим к модели характерного макро-фрактала двухатомного азота , который изображён на Рис.10 :

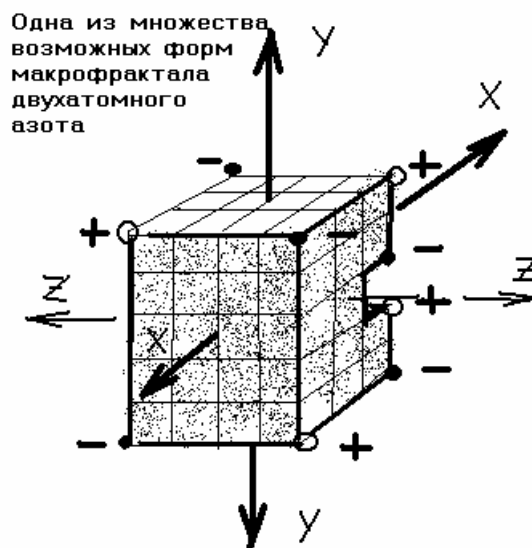


Рис.10

Основной особенностью этого макро-фрактала является АСИММЕТРИЯ .

У этого макро-фрактала есть «верх» и «низ» , есть «правая» и «левая» сторона .

Разумеется в относительном смысле .

В соответствии с (86) макро-фрактал состоит из пятидесяти шести материальных спектрально пульсирующих кубов :

$$(2^{26})^3 \times \mu_{\text{оя}} \quad (88)$$

наделённых абсолютной симметрией

Следовательно , макро-фрактал двухатомного азота наделён множеством внутренних симметрий при отсутствии симметрии внешней .

У читателей может возникнуть естественный вопрос:
Почему автор везде делает акцент на геометрию фракталов?

Ответ на этот вопрос содержится в Парадигме Пифагора,
приведенной в начале этой статьи.

А замечательные американские физики Ч.Мизнер, К.Торн и Дж,
Уиллер, в первом томе своего трёхтомника «Гравитации»,
переведенного на русский язык ,и изданном в Москве издательством
«Мир» в 1977 году, на странице 370 перевели мудрость Пифагора на
язык современных понятий:

«Каждая физическая величина должна описываться геометрическим объектом (независимо от наличия координат), а все законы физики должны выражаться в виде геометрических соотношений, между этими геометрическими объектами.

Эта точка зрения в физике, известная как Принцип всеобщей ковариантности, пронизывает все достижения двадцатого столетия»

Располагая описанными выше данными, построим макро-фрактал соединения двухатомного кислорода и двухатомного азота ,
см. Рис.11:

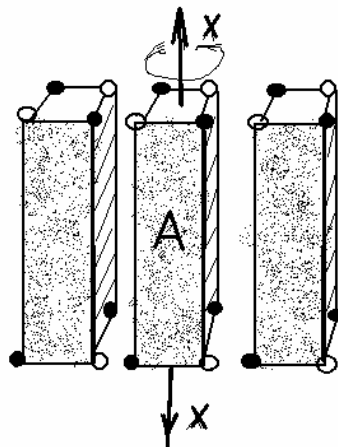


Рис. 11

Такой фрактал состоит из ТРЕХ геометрических «кристаллов».

Каждый «кристалл – фрактал» строится из ПЯТИ слоев .

Каждый слой состоит из ЧЕТЫРЕХ нуклонов .

Каждый нуклон имеет следующую фрактальную структуру ,
 строительными «кирпичиками» которой служат ядра
 холодных фотонов – адронов .:

$$m_{\text{нuc}} = 2 \times (2^{26})^3 \times \mu_{\text{оя}} \quad (89)$$

Каждый из ПЯТИ слоев , строящихся из
 ЧЕТЫРЕХ нуклонов , состоит из ВОСЬМИ кубов :

$$4 \cdot m_{\text{нuc}} = 8 \times [(2^{26})^3 \times \mu_{\text{оя}}] \quad (90)$$

Один такой куб изображен ниже на Рис.12 :

Это один из ПЯТИ кубов-фракталов
 образующих один из ТРЕХ
 фракталов Фиг.5

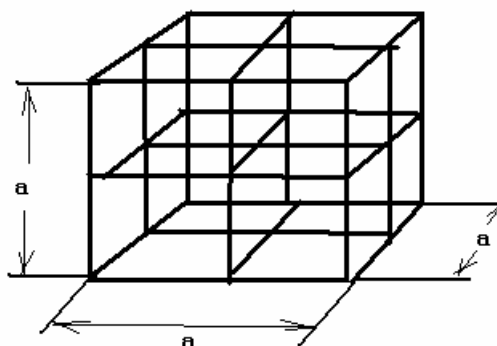


Рис.12

Проверим сходимость наших фрактальных выкладок .

ТРИ геометрических кристалла , изображенных на Рис.11 ,
 умножаем на ПЯТЬ слоев нуклонов , содержащих по ЧЕТЫРЕ
 нуклона , получаем общее количество нуклонов , равное
 ШЕСТИДЕСЯТИ .

Именно на такое количество нуклонов указывает нам сумма
 массовых чисел двухатомного кислорода и двухатомного азота, см.
 (82) и (85) .

Совершив круг фрактально-фотонных построений для главных обитателей земной атмосферы (двухатомного кислорода и двухатомного азота) , мы подошли вплотную к выяснению физической причины закрутки молекул ДНК.

В Ы В О Д Ы

1 Азотно-кислородному многообразию , изображенному на Рис.11 , свойственны ТРИ двухповоротных состояния , как относительно собственных осей симметрии, так и в плоскости Рис.11.

Такие повороты сохраняют пульсирующее многообразие не только как фрактальную композицию , но и как композицию, окруженную строго организованной паутиной ОПОРНЫХ волн фотонов-адронов, см. Схему №1 . приведенную выше. Такая паутина опорных волн одной и то же частоты есть цифровая генетическая информация каждого конкретного объекта.

Весь цифровой массив такой информации в недрах НМК МП суть цифровое ИНФОРМАЦИОННОЕ ПОЛЕ Мироздания .

Вернёмся к интерпретации свойств фракталов, изображённых на Рис.11 В ТРЕХ состояниях этих фракталов-кристаллов, к угловым свободным гравитационным зарядам этих фракталов-кристаллов могут присоединяться другие характерные для Земли фракталы водорода и углерода .

В результате таких соединений появляются ТРИ пиримидиновых основания, широко распространённые в животных и растительных тканях , а также в микроорганизмах .

Структурные формулы таких оснований приведены на Рис.13 .

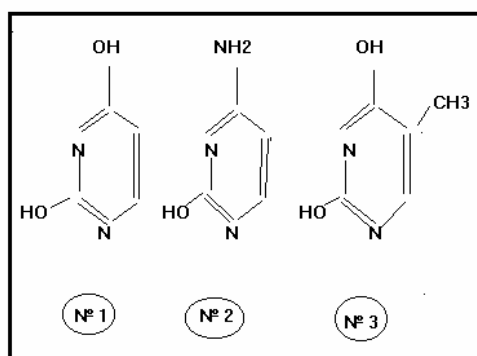


Рис.13

2 . Два многообразия , из трёх, изображённых на Рис.11 , способны соединиться в крестообразную структуру по причине взаимного притяжения гравитационных зарядов противоположного знака , см. Рис .14 . Это равносильно повороту в плоскости Рис.11 одного многообразия относительно другого на угол девяносто градусов . Множество таких многообразий , ПОСЛЕДОВАТЕЛЬНО развернутых друг относительно друга в одну сторону на общий угол поворота , равный углу:

π

могут образовать как правостороннюю спираль, так и левостороннюю спираль .

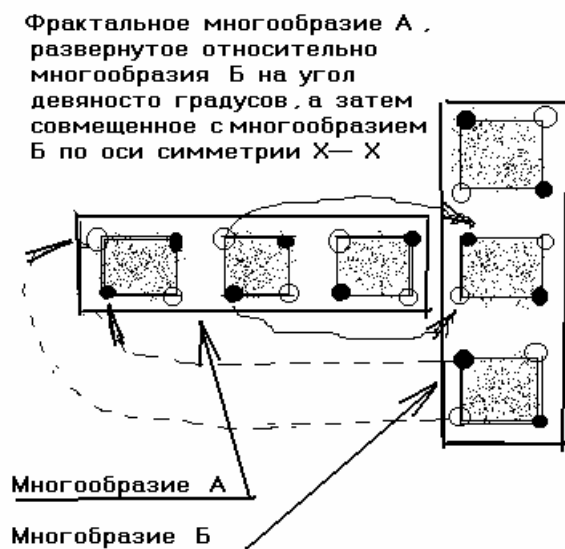


Рис.14

Итак , мы собрали множества холодных фотонов – адронов в характерные для земных условий геометрические многообразия, которые обитают не в пустом пространстве –времени , а в недрах квазигазовой структуры НМК МП .

6. Формирование генома человека с помощью шахматной доски фотона – Президента.

Фотон-Президент, «сидящий» за шахматной доской, изображённой на Таблице №1, располагает множеством цифровых кодов, с помощью которых он может создавать те или иные живые объекты Природы.

Среди этого множества цифровых кодов есть один, отображаемый числом :

$$FK = 614 = 2 \quad (91)$$

Это число суть площадь прямоугольника, состоящего из двух площадей

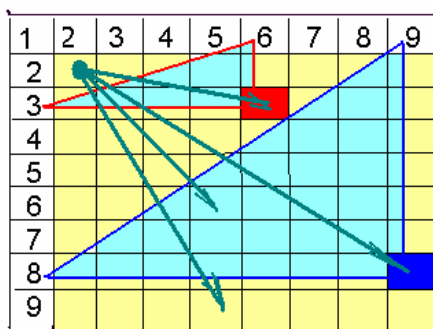
$$F_k = \frac{FK}{2} = 307 = 1 \quad (92)$$

прямоугольных треугольников Пифагора.

Следовательно, этим прямоугольным треугольникам принадлежит одна единственная жёлтая клетка шахматной доски, стоящая в верхнем левом углу Таблицы умножения Пифагора , площадь прямоугольника в которой равна числу 4. Эта площадь может клонироваться, делиться пополам и площадь клонированного прямоугольника будет определяться формулой (91).

Если согласиться с Эзотерикой , которая утверждает, что число 1 суть число Создателя, то невольно приходишь к выводу о справедливости библейского утверждения: «Бог создал человека по образу и подобию своему». Следуя этой парадигме, мы можем утверждать, что Бог создал фотон СВЕТА по образу и подобию своему. Такой фотон-Президент, сидя в первой жёлтой клетке шахматной доски, изображённой на Таблице №1 , может посылать сигналы в любую её клетку, как это демонстрируется ниже:

Таблица умножения и теорема Пифагора



■ Площадь прямоугольника $3 \cdot 6 = 18$

■ Площадь прямоугольника $8 \cdot 9 = 72$

Таким путём он может вызывать к жизни тот или иной прямоугольник и соответствующий ему прямоугольный треугольник. Таким путём Создатель может запускать процесс возникновения нового материального объекта, в частности генома человека. Сделаем следующий шаг в нашем исследовании генома человека и убедимся в справедливости изложенной здесь гипотезы.

Нам необходимо отдавать себе отчёт в том, что в формировании генома человека и спиральной структуры молекул ДНК участвуют миллиарды нуклонов, а нам удалось описать механизм спиральной закрутки только специфических пакетов нуклонов, состоящих из шестидесяти нуклонов. А геном человека формируют миллиарды нуклонов, которые состоят из ещё большего числа пульсирующих фотонов, насыщающих мировое пространство неисчислимым количеством **ОПОРНЫХ** электромагнитных волн **СВЕТА**. В силу этого обстоятельства мы вынуждены будем исследовать такие интегральные объекты генома человека, которые поддаются исчислению.

Начнём с цитаты из автора[17] :

«Из ортодоксальной молекулярной генетики известно, что содержание ДНК в диплоидной клетке человека составляет ничтожно малую массу:

$$(6.6 - 8.0) \times 10^{-12} \text{ Г} \quad (93)$$

Пара нуклеотидов на базе А-Т (аденин-тимин) имеет массу

$$1.025 \times 10^{-21} \text{ Г} \quad (94)$$

а пара нуклеотидов на базе G-C (гуанин-цитозин) имеет массу:

$$1.027 \times 10^{-21} \text{ Г} \quad (95)$$

Следовательно, весь диплоидный набор содержит:

от

$$6.43 \times 10^9 \quad (96)$$

до

$$7.8 \times 10^9 \quad (97)$$

пар нуклеотидов, заключенных в 46 хромосомах, которые содержатся в ЯДРЕ диплоидной клетки человека »

Если усредненную массу ПАРЫ нуклеотидов разделить на усредненную массу ПАРЫ нуклонов, то мы получим количество гравитационных диполей нуклонов (ЭГД), объединенных СИЛЬНОЙ гравитацией в ОДИН ЖИВОЙ НУКЛЕОТИДНЫЙ ДИПОЛЬ.

ЭТО КОЛИЧЕСТВО РАВНО 307

Итак, в живом нуклеотидном диполе содержится НЕЧЕТНОЕ количество гравитационных диполей нуклонов . Под воздействием гравитации гравитационные диполи нуклонов (ЭГД) находят друг друга в недрах НМК МП . Они могут объединяться в азотно – кислородные фракталы , описанные нами выше . Но они могут образовывать и простую цепочку . В силу НЕЧЁТНОСТИ числа 307 , на концах такой цепочки , с каждой стороны , будут находиться гравитационные заряды одного знака . Следовательно , концы такой цепочки могут замкнуться только с закручиванием всей цепочки на угол π .

Здесь мы вновь пришли к тому же выводу , который получили выше изучая фрактальное многообразие , изображенное на Рис.11.

Нетрудно заметить, что образующееся при этом кольцо из 307 ПАР нуклонов сворачивается в лист Мёбиуса , см. Рис.15 :



Рис .15

Так рождается первое звено спиральной молекулы ДНК , состоящей из 16 569 пар нуклеотидов, т.е. из :

$$307 \times 16569 = 5086683 \quad (98)$$

ПАР НУКЛОНОВ .

Каждый нуклон , см. выше, состоит из фотонов, число которых равно числу Авогадро:

$$N_A = 2^{79} \quad (99)$$

Следовательно, первое звено спиральной молекулы ДНК состоит из числа пульсирующих фотонов СВЕТА , которое равно ЧЁТНОМУ числу:

$$\begin{aligned} N_A \cdot 5.086683 \cdot 10^6 &= \\ = 3.0747112 \cdot 10^{30} & \end{aligned} \quad (100)$$

Зная количество пар нуклеотидов , содержащихся в 46 хромосомах ядра диплоидной клетки человека , см. цитату , приведенную выше , располагая массой этого живого вещества , см. выше (93)-(95) , и располагая массой пары нуклонов , легко вычислить миллиардное сообщество, спектрально пульсирующих нуклонов , объединенных СИЛЬНОЙ гравитацией в ЯДРЕ ОДНОЙ ДИПЛОИДНОЙ КЛЕТКИ ЧЕЛОВЕКА . Такое ядро возникло в специфических условиях азотно-кислородной атмосферы планеты Земля, из мириадов горячих и холодных фотонов, излучаемых фотосферами Солнца и звёзд . Это означает, что в каждой живой клетке содержатся «частицы» из тела всей Вселенной . В каждой живой клетке , как в капле воды, отражён весь Мир . И вся информация этого многообразия Вселенной сосредоточена на шахматной доске Таблицы №1, которой управляет один единственный фотон-Президент.

Специалисты ядерных держав создали аналог такой системы управления своими ракетно-ядерными арсеналами. Только Президент страны может выдать команду на центральный пункт управления этими арсеналами. А из центрального пункта управления команда проходит на боевые ракетные комплексы (БРК) наземного и подводного базирования для заранее продуманного порядка поражения целей противника. Таковую систему придумал и осуществил человек. А в предложенной читателям онтологической спекуляции остаётся вечный и неразрешимый вопрос :

**КТО ВЛОЖИЛ В СТРОГУЮ ПРОГРАММУ ПОСТРОЕНИЯ
РАЗУМНОГО МИРОЗДАНИЯ РАЗУМ ?**

Литература

1. П.П.Гаряев, Фрактальность интеллекта, Главная страница Академии Тринитаризма, 2009 год
2. В.С.Ярош , Эволюция симметрии $S_c(3)$ А.Салама в область симметрии холодных фотонов-адронов решает проблему монополя Дирака, <http://www.scylibrary.ru/rus/avtors/ja.html>, (2009).
3. В.С.Ярош, Всеобщий закон девятиричной периодичности, <http://www.scylibrary.ru/rus/avtors/ja.html>, (2009).
4. В.С.Ярош, Девятиричный путь от натуральных чисел к квантам белой и тёмной материи (NINEGITAL WAY), <http://www.scylibrary.ru/rus/avtors/ja.html>, (2009).

5. Vsevolod S. Yarosh, Fundamental Criterion for Super-Symmetry, The Journal of the International Society for the Interdisciplinary Study of Symmetry (ISIS-Symmetry), Wroclaw and Cracow, Poland, September 14-19, 2009, 260-263 pp.
6. Г.Фрауэнфельдер, Э.Хенли, Субатомная физика, пер. с англ., М., «Мир», 1979, с.с.450,451,604-610.
7. Г.Б.Жданов, Множественная генерация частиц, М., «Наука», 1974, с.11.
8. В.С.Ярош, Природа космических лучей подсказывает безопасный и эффективный путь решения энергетики будущего на Земле, Труды 15-й Международной конференции, Проблемы управления безопасностью сложных систем, Часть 1, с.с.102-105, М.,РАН, 2007.
9. А.А.Корнеев, сайт Числонавтика,
10. Л.Мишель, Применение теории групп в квантовой физике, пер.с англ., Новости фундаментальной физики, вып.3., М.,1974, с.с.7,9.
11. Инженерный справочник по космической технике, М.,Воениздат, 1969 год, с.55.
12. Дж.Брандт, Солнечный ветер, пер.с англ.,М.,Мир,1973,с.9.
13. Ф.Хойл, Галактики, ядра и квазары, пер. с англ, М., «Мир», 1968, 59,76,
14. Физика космоса, М. «Советская энциклопедия», 1986, с.39.
15. К.Ленг, Астро–физические формулы, Том 2,перевод с англ.,М., «Мир», 1978, с. 290.
16. В.С.Ярош, Единая симметрия микро- и макрокосмоса,М.,изд.Лев,2001
17. А.Праушкин, Аналитическое программирование информационно-обменных процессов активных биологических форм, С.Петербург, изд..AIRES,1999,с.30.
18. В.С.Ярош, О выражении физических постоянных через три основные, Сборник научных статей «Проблемы теории гравитации и элементарных частиц», М., «Атомиздат», 1977, с.с.220-230.
19. Р.Вильсон, Космическое микроволновое фоновое излучение, УФН, т.129, вып.4, 1979, с.595.
20. А.П.Стахов, Д.С.Клещёв, Проблема бесконечного в математике и философии от Аристотеля до А.Зенкина, Главная страница Академии Тринитаризма, 2009 год.
21. А.Салам, Калибровочное объединение фундаментальных сил, УФН, том 132,вып.2, 1980, с.246.

28 декабря 2009 года

Всеволод Сергеевич Ярош,
Россия, 121354, Москва,
Можайское шоссе, №39, кв.306.
Тел. (495) 444-00-94
E-mail: yvsevolod-26@yandex.ru